

- [3] Ch. Kittel. *Revs. Mod. Phys.* 21, 241, 1949; УФН, 41, 452, 1950; Физика ферромагнитных областей, М., ИИЛ, 1951.
- [4] Е.М.Лифшиц. *ЖЭТФ*, 15, 97, 1945.
- [5] L.Neel *J. de phys. et rad.*, 5, 241, 1944; Физика ферромагнитных областей, М., ИИЛ, 1951.
- [6] М.Я.Широков. *ЖЭТФ*, 15, 57, 1945; 16, 60, 1946.
- [7] O.Halpem, T.Holstein. *Phys. Rev.* 59, 960, 1941.
- [8] R.P.Newton, Ch. Kittel. *Phys. Rev.*, 74, 1604, 1948.
- [9] С.В.Малеев, В.А.Рубан. *ЖЭТФ*, данный номер, стр. 541
- [10] Н.Рамзэй. Молекулярные пучки М., ИИЛ, 1960.

Письма в ЖЭТФ, том 10, стр. 545-550

5 декабря 1969 г.

ОЦЕНКА ШИРИНЫ ЛИНИИ ВЫНУЖДЕННОГО МАНДЕЛЬШТАМ – БРИЛЛЮЭНОВСКОГО И КОМБИНАЦИОННОГО РАССЕЯНИЯ СВЕТА ПРИ НАСЫЩЕНИИ

Ю.Е.Дьяков

Вынужденное рассеяние Мандельштама – Бриллюэна. 1. Известно [1,2], что при достаточно малых интенсивностях накачки I_L ($I_L < I_{\text{пор}}^{\text{МБ}}$) компонента ВРМБ, отраженная областью $0 < Z < \ell$, имеет интенсивность $I_{\text{МБ}}$, малую по сравнению с I_L (линейный режим рассеяния), причем ширина линии уменьшается с ростом интенсивности накачки

$$\Delta\omega_{\text{МБ(лин)}} = \Delta\omega \sqrt{\frac{\ln 2}{g\ell \cdot I_L}}, \quad (1)$$

где $\Delta\omega$ – ширина линии теплового рассеяния Мандельштама – Бриллюэна, g – коэффициент усиления. Ниже приведены оценки, позволяющие сделать вывод, что в существенно нелинейном режиме ВРМБ ($I_{\text{МБ}}(z=0) \ll I_L(z=0) \gg I_{\text{пор}}^{\text{МБ}}$) ширина линии стремится к

$$\Delta\omega_{\text{МБ}} \propto \Delta\omega \sqrt{\frac{\ln 2}{g\ell I_{\text{пор}}^{\text{МБ}}}} = \Delta\omega \sqrt{\frac{\ln 2}{G}} \quad (2)$$

и перестает зависеть от интенсивности накачки (G – введенная в работе [3] постоянная). Аналогичная зависимость ширины линии от интенсивности накачки получена и для m -й стоксовой компоненты вынужденного комбинационного рассеяния (рис.1).

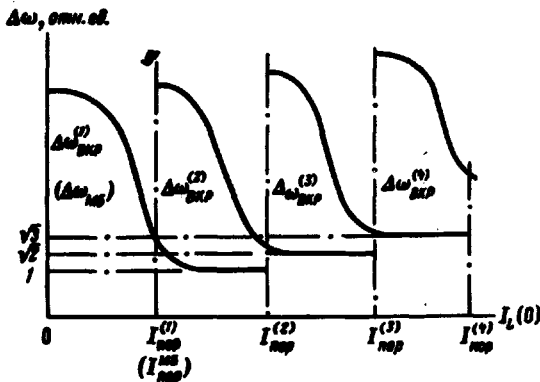


Рис. 1

2. Оценка (2) вытекает из результатов решения следующих вспомогательных задач: а) для режима насыщения ВРМБ определим (в статическом приближении) комплексную амплитуду A и корреляционную функцию $k(\tau)$ мандельштам – бриллюэновской компоненты (МБК) при $z = 0$ (начало области взаимодействия), считая, что при $z = \ell$ МБК – нормальный случайный процесс с амплитудой A^{*q} , функцией корреляции $k^{*q}(\tau)$ и спектральной полосой $\Delta\omega_{\text{МБК}}^{*q}$. Величина A может быть найдена из уравнения

$$\partial A / \partial z + \frac{1}{2} g I_L(z) A = 0$$

($I_L(z)$ – определяемое теорией Танга [2] пространственное распределение интенсивности возбуждающего излучения) и граничного условия $A_{z=\ell} = A^{*q} = \rho e^{i\phi}$:

$$A \approx e^{i\phi} \sqrt{I_L(0) - \langle I_0 \rangle}, \quad I_0 e^{-g\ell} \approx \rho^2, \quad (3)$$

$\langle I_0 \rangle = I_{\text{пор}}^{\text{МБ}}$; угловые скобки означают статическое усреднение. Считая относительные флуктуации величины I_0 малыми и $g\ell I_0 \gg 1$ (это значит, что рассеяное излучение намного слабее возбуждающего при $z \approx \ell$, что обычно имеет место), найдем

$$\langle I_0 \rangle e^{-g\ell} \langle I_0 \rangle = \langle \rho^2 \rangle \approx I^{*q}, \quad I_{\text{пор}}^{\text{МБ}} \approx \frac{1}{g\ell} (\ln + \ln \ln) \frac{1}{g\ell I^{*q}}, \quad (4)$$

где I^{*q} – эквивалентная интенсивность МБК при $z = \ell$.

Согласно (3) у отраженного света в режиме насыщения флуктуирует только фаза. Следовательно, искомое соотношение между корреляционными функциями имеет вид ([4], стр.566)

$$k = \frac{\pi}{4} \frac{E(k^{*q}) - [1 - (k^{*q})^2]k(k^{*q})}{k^{*q}} \sim k^{*q} + \frac{1}{8}(k^{*q})^2 + \dots,$$

где E и k — эллиптические интегралы. Найденная связь между $k(\tau)$ и $k^{*q}(\tau)$ мало отличается от линейной. Таким образом, в результате нелинейного преобразования $A^{*q} \rightarrow A$ вид спектра МБК (а следовательно и ширина линии) остается практически без изменений:

$$\Delta\omega_{\text{МБ}} \approx \Delta\omega_{\text{МБ}}^{*q}; \quad (5)$$

б) Найдем ширину линии $\Delta\omega_{\text{МБ}}^{*q}$ для МБК, эквивалентной реальным пространственно-распределенным источникам при насыщении. Используя результаты работы [2] можно показать, что в большей части области рассеяния ($\ell_0 < z < \ell$, $\ell_0/\ell = 1/g\ell l_0 \ll 1$) интенсивность $I_L(z)$ накачки постоянна и равна I_0 , а $I_{\text{МБ}}^{*q} \ll I_0$. Лишь в сравнительно узком интервале $0 < z < \ell_0$ интенсивности $I_L(z)$ и $I_{\text{МБ}}^{*q}(z)$ возрастают (в 10–100 раз), достигая примерно одинаковой величины при $z = 0$ (рис.2).

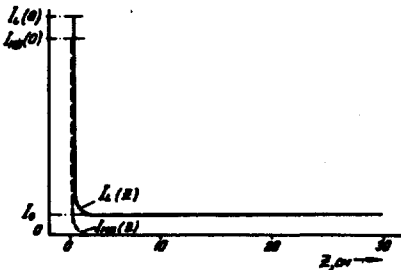


Рис. 2. КПД = $I_{\text{МБ}}(0)/I_L(0) = 0,9$,
 $g = 0,13$ см/Мвт, $\ell = 30$ см,
 $I_L(0) = 183$ Мвт/см².

Таким образом, на интервале $\ell_0 < z < \ell$ справедливо линейное описание ВРМБ, причем усиление полей источников происходит при почти постоянном уровне накачки I_0 , т.е. (см. (1)) на этом интервале ширина линии ВРМБ постепенно уменьшается

$$\Delta\omega_{\text{МБ}}(z) = \Delta\omega \sqrt{\frac{\ln 2}{g(\ell - z)I_0}}, \quad I_0 < z. \quad (6)$$

В области $0 < z < \ell_0$ не происходит ни дальнейшего существенного сужения линии ВРМБ (из-за относительно небольшого усиления МБК

на этом участке), ни ее заметного расширения (см. задачу а). Таким образом, в качестве $\Delta\omega_{\text{МБ}}^{\text{е}^q}$ можно взять $\Delta\omega_{\text{МБ}}(\ell_0)$ из (6), что приводит к оценке (2), если учесть соотношения (5), $\ell_0 \ll \ell$ и $I_0 \approx \langle I_0 \rangle = I_{\text{пор}}^{\text{МБ}}$.

3. Полагая в уравнении (4) $I^{\text{е}^q} = I_1 / \sqrt{x}$ [2], получим уравнение $x e^{-3/2 x} = (g\ell I_1)^{2/3}$, из которого можно оценить пороговую интенсивность:

$$x = g\ell \langle I_0 \rangle = g\ell I_{\text{пор}}^{\text{МБ}} = G \approx \frac{3}{2} (\ln + \ln \ln) \frac{3}{2} (g\ell I_1)^{-2/3}.$$

Здесь

$$I_1 = \frac{\theta a n T f_L^2 k \sqrt{\ln 2}}{2\pi c} \approx 6 \cdot 10^{-34} \theta a n T f_L^2,$$

где θ — телесный угол расходимости пучка света лазера, n и T — коэффициент преломления и температура рассеивающей среды, a — коэффициент затухания гиперзвука, f_L — частота накачки, k — постоянная Больцмана, c — скорость света. Например, если $g = 0,13 \text{ см/Мвт}$ (CS_2 [5]), $\theta = 10^{-4}$ стерад, $a = 300 \text{ см}^{-1}$, $n = 1,5$, $T = 300^\circ$, $f_L = 4 \cdot 10^{14}$ и $\ell = 30 \text{ см}$, то $I_1 \approx 10^{-3} \text{ Мвт/см}^2$, $G = 8,5$ и $I_{\text{пор}}^{\text{МБ}} = 2,2 \text{ Мвт/см}^2$, причем, согласно (2) линия ВРМБ при насыщении примерно в 3 раза уже $\Delta\omega$.

Вынужденное комбинационное рассеяние. При последовательном возбуждении стоксовых компонент ВКР пространственное распределение интенсивности накачки $I_L(z)$ и стоксовых компонент $I_m(z)$ ($m=1,2,\dots$) имеет вид, качественно представленный на рис.3 [6]. Если пренебречь

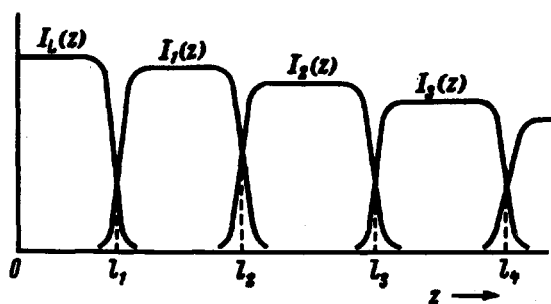


Рис. 3.

затуханием, то характерные длины ℓ_m и уровни насыщения $(I_m)_{\text{max}}$ можно оценивать как [7]

$$\ell_m \approx \frac{m \ln 1/a}{g_m I_L(0)}, \quad (I_m)_{\text{max}} = I_L(0) \frac{\omega_m}{\omega_L} \quad (m=1,2,\dots), \quad (7)$$

где $g_m = g_0 \omega_m / \omega_L$ — коэффициент усиления для m -й стоксовой компоненты с частотой ω_m , ω_L — частота накачки, $\sigma \approx 10^{-12}$ (для CS_2) — начальный относительный уровень интенсивности рассеяния [8].

Рассуждая так же, как и в случае ВРМБ, можно прийти к заключению что на интервале насыщения m -й компоненты ВКР ($l_m < z < l_{m+1}$) у этой компоненты флуктуирует только фаза, т.е. ее комплексная амплитуда является случайной функцией вида (5): $A_m \approx \sqrt{(I_m)_{max}}$ $e^{i\phi_m}$, причем спектр ϕ_m определяется при линейном усилении на предыдущем интервале $l_{m-1} < z < l_m$ в поле $(m-1)$ -й стоксовой компоненты с комплексной амплитудой

$$A_{m-1} = \sqrt{(I_{m-1})_{max}} e^{i\phi_{m-1}},$$

и т.д. В линейном приближении анализ ВРМБ и ВКР аналогичен [9], и из нестационарной теории ВРМБ, развитой в работе [10], следует, что $\phi_m = \phi_{m-1} + \phi'_m$, где ϕ'_m — фазовые флуктуации при $\phi_{m-1} = 0$, причем ϕ_{m-1} и ϕ'_m — статически независимы. В результате, учитывая (7) и гауссовскую форму спектров рассеяния в линейной области [2], получим следующую оценку для эффективной ширины спектра m -й стоксовой компоненты ВКР при ее насыщении

$$\Delta\omega_{ВКР}^{(m)} \approx \sqrt{\frac{m \ln 2}{\ln 1/\sigma}}, \quad (m \approx 1, 2, \dots) \quad (8)$$

т.е. ширина линии не зависит от длины рассеивающей области, интенсивности накачки и коэффициентов усиления, определяясь лишь σ и номером m компоненты (рис.1). Указанные на рис.1 пороговые значения интенсивности накачки равны $I_{пор}^{(m)} = (\ln 1/\sigma) / g_m l$, где l — полная длина рассеивающей области. Если $l > l_m$ для всех существенных значений интенсивности накачки, то оценка (8) сохранит силу и при произвольном распределении интенсивности накачки по сечению пучка.

Научно-исследовательский
институт приборостроения

Поступила в редакцию
23 октября 1969 г.

Литература

- [1] В.С.Старунов, И.Л.Фабелинский. УФН, 98, 442, 1969.
[2] С.Е. Tang. J. Appl. Phys., 37, 2945, 1966.
[3] M. Maier. Phys. Rev., 166, 113, 1968.

- [4] Д.Миддлтон. Введение в статистическую теорию связи (пер. с англ. "Советское радио", М., 1961).
- [5] M.Maier, W.Rother, W.Kaiser. Appl. Phys. Lett., 10, 180, 1967.
- [6] Y.R.Shen, N.Bloembergen. Phys. Rev., 137, A1787, 1965.
- [7] Ю.Е.Дьяков. Труды конференции по нелинейной оптике. Новосибирск, 1969.
- [8] D. der Linde, M.Maier, W.Kaiser. Phys. Rev., 178, 11, 1969.
- [9] S.A.Аскамадов. Mater. Res. Bull., 4, 455, 1969.
- [10] Ю.Е.Дьяков. Письма в ЖЭТФ, 9, 487, 1969.
-